

# 35 功土・盛土の設計のための安定図表について

国土防災技術(株) 申 潤植。土屋 智

## 1. はじめに

功土や盛土の設計においては法面の安定が必須条件であり、また一般には間隙水圧を考慮する必要がある。地表面傾斜角 $\alpha = 0^\circ$ の場合、たとえば堤防のような盛土・功土の場合にはビニヨップ・モルゲンシュタイン、スペニサー、ファンらによる安定図表<sup>(3)</sup>を用いることができる。ただし、法面の傾斜角 $\beta$ や安定数 $C'/\gamma' H$ が限定されたり、また臨界円弧作囲のための諸元が得られないこともあります。

本研究は先に発表した半無限斜面に関する「基岩面条件と斜地の安定」<sup>(1)</sup>の方法を拡張したもので、土質定数、間隙水圧、基岩面条件(均質斜面)、单斜または複合斜面)を与え任意の $\alpha$ 、 $\beta$ のもとでの臨界円弧の探し出しを容易にしたものである。今回は $\alpha = 0^\circ$ の均質斜面についてこの計算図表を発表する。この計算図表を用いれば与えられた定数に対する無次元値 $K_0$ と安定数 $F_0$ の関係を一義に定めることができ任意の $\beta$ に対して容易に安全率を求めることができる。

$$K_0 = \frac{C'}{\omega \cdot H \cdot (1 - \gamma_u) \cdot \tan \gamma}, F_0 = (1 - \gamma_u) \cdot \tan \gamma : F_0$$

ここに  $\omega$ : 上の単位重量,  $C'$ ,  $\gamma'$ : 土質定数,  $\gamma_u$ : 間隙圧比,  $H$ : 地表変換高さとすべり下端との高さ

## 2. 条件式と無次元化

図-1に示すように円弧の中心Oを原点とする直交座標をとる。地表の変換点をP、部の傾斜角が $\beta$ 、APの傾斜角が $\alpha$ で示される斜面を考える。ここで、y軸とOAのなす角をy軸から反時計回りに $\theta$ 、y軸とOBのなす角をy軸から時計回りに $\varphi$ とすると、 $P(\rho, \varphi)$ は

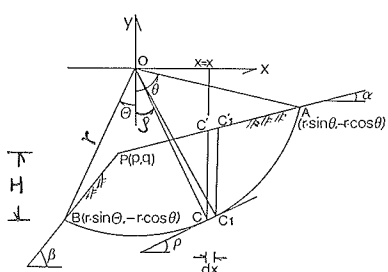


図-1 円弧と記号

$$\left. \begin{aligned} \rho &= \frac{p}{r} = \frac{a \sin \theta + b \cos \theta - (b \sin \theta + a \cos \theta)}{a - b} \\ \varphi &= \frac{\theta}{r} = \frac{a b \sin \theta + b c \cos \theta - (a b \sin \theta + a c \cos \theta)}{a - b} \end{aligned} \right\} \dots \dots (1)$$

ここに、 $a = \tan \alpha$ ,  $b = \tan \beta$ ,  $r$ : 半径  
で表される。次にy軸から $\rho$ の角度をもつOCを引き、微少スライス $C'C_1G_1$ をとり、その幅を $dx$ とする。土の単位重量を $\omega$ とすれば、微少スライスの重さ $dW$ は

$$\left. \frac{dW}{\omega} = \gamma \cdot dx = r \cdot Y(c, z) \cdot dx, \quad y/r = Y(c, z) = \left[ \sqrt{1 - (\frac{z}{r})^2} + c \cdot (\frac{x}{r} - \sin \theta) - \cos \theta \right] \right\} \dots \dots (2)$$

ただし、 $\rho/r \leq z/r \leq \sin \theta$ の時  $c=a$ ,  $z=\theta$  :  $\sin \theta \leq z/r \leq \rho/r$  の時  $c=b$ ,  $z=\varphi$

ここで、 $X = z/r$ とおけば、 $dx = r \cdot dX$ であるから式(2)を書き換える $dW$ の接線成分、法線成分をそれぞれ $dT$ ,  $dN$ 、すべり面長を $L$ とすると

$$\left. \begin{aligned} \frac{dT}{\omega r^2} &= \frac{dW}{\omega r^2} \cdot \sin \rho = Y(c, z) \cdot X \cdot dX, \quad \frac{dN}{\omega r^2} = \frac{dW}{\omega r^2} \cdot \cos \rho = Y(c, z) \cdot \sqrt{1 - X^2} \cdot dX \\ (\because \sin \rho &= z/r = X, \quad dx/r = dX) \end{aligned} \right\} \dots \dots (3)$$

(3)式と(2)の範囲で積分し加えればすべり接線成分力の総和 $T$ と同法線成分力の総和 $N$ が求められる。

ただし、取扱の簡便さを考慮して  $T$ ,  $N$ ,  $L$  ともに  $w$ ,  $r$  で除し  $T_0 = T/wr^2$ ,  $N_0 = N/wr^2$ ,  $L_0 = L/r$  としてそれそれを無次元化してある。 $wr^2$  は [重量] / ([長さ])<sup>3</sup> × ([長さ])<sup>2</sup> の次元を有し単位長さ当たりの重量を示す。 $T$ ,  $N$  と同じ次元である。

$$\left. \begin{aligned} T_0 &= \frac{T}{wr^2} = I_0(a, \theta) - I_0(b, \theta) \cdot \frac{b-a}{6} \cdot p_0^3 \quad ; \quad I_0(c, z) = -\frac{1}{3} \cdot \cos^3 z - \frac{1}{6} \cdot c \cdot \sin^3 z - \frac{1}{2} \cos z \cdot \sin^2 z \\ N_0 &= \frac{N}{wr^2} = J_0(a, \theta) - J_0(b, \theta) \cdot \frac{b-a}{6} \left\{ \sqrt{1-p_0^2} \cdot (z+p_0^2) + 3 \cdot p_0 \cdot \sin^{-1} p_0 \right\} \\ &\quad ; \quad J_0(c, z) = \sin z - \frac{1}{3} (\sin^3 z + c \cdot \cos^3 z) - \frac{1}{4} (c \cdot \sin z + \cos z) (z \cdot z + \sin z \cdot z), \quad L_0 = \frac{L}{r} = \theta - \Theta \end{aligned} \right\} \quad \dots (4)$$

安全率の計算式は間隙圧比 ( $\gamma_u = u/h \cdot w$ ,  $u$ : 壓力水頭,  $h=y$ ) が断面内にあって一様であるもとし、修正フェレーラスの式を用いる。(1), (2)

(1) の右辺の分子、分母を  $wr^2$  で除し (3) を得て、  
 $(1-\gamma_u) \cdot \tan \varphi'$  を  $\ll$  り出せば修正フェレーラス式  
 は (5) 式のように変形される。

$$\left. \begin{aligned} F &= \frac{(1-\gamma_u) \cdot \tan \varphi' \cdot N + C' \cdot L}{T_0} \quad \dots (1) \\ F &= \frac{(1-\gamma_u) \cdot \tan \varphi' \cdot \frac{T}{wr^2} + \frac{C'}{w} \cdot \frac{L}{r}}{\frac{T}{wr^2}} \quad \dots (2) \end{aligned} \right.$$

$$\left. \begin{aligned} F &= (1-\gamma_u) \cdot \tan \varphi' \cdot F_0 \quad \dots (3) \\ \text{ここに } F_0 &= (N_0 + K_0 \cdot M_0 \cdot L_0) / T_0, \quad K_0 = C' / \{w \cdot (1-\gamma_u) \cdot \tan \varphi' \cdot H\}, \quad M_0 = 1/r_0 = b \cdot (p_0 - \sin \Theta) \end{aligned} \right\} \quad \dots (4)$$

$$r_0 = r/H = 1/\{b \cdot (p_0 - \sin \Theta)\}, \quad H = \overline{PB} \cdot \sin \beta \quad (\text{すべり下端とPの鉛直高}) \quad \dots (5)$$

### 3. 安全率 $F$ 最小の条件

安全率  $F$  の最小条件は (5) 式における  $F$  が  $F_0$  の一次関数であることをから、結局 (4) 式の  $F_0$  が最小となる条件である。 (4) 式の  $F_0$  における  $N_0$ ,  $M_0$ ,  $L_0$ ,  $T_0$  は (4) より明らかのように円弧の中心角  $\theta$ ,  $\Theta$  を変数とする。すなわち、与えられた条件から定まる  $K_0$  に対し (4) 式の  $F_0$  が  $\partial F_0 / \partial \theta = 0$ ,  $\partial F_0 / \partial \Theta = 0$  を満足すれば安全率  $F$  を最小にする  $\theta$ ,  $\Theta$ ,  $r$  が求まり、臨界円弧が定まることなる。

$$\left. \begin{aligned} \frac{\partial F_0}{\partial \theta} &= T_0 [N_1 + K_0(M_1 \cdot L_0 + M_0) - T_1(N_0 + K_0 M_0 L_0)] \quad ; \quad T_0[N_1 + K_0(M_1 L_0 + M_0) - T_1(N_0 + K_0 M_0 L_0)] = 0 \\ \frac{\partial F_0}{\partial \Theta} &= T_0 [N_2 + K_0(M_2 L_0 - M_0) - T_2(N_0 + K_0 M_0 L_0)] \quad ; \quad T_0[N_2 + K_0(M_2 L_0 - M_0) - T_2(N_0 + K_0 M_0 L_0)] = 0 \end{aligned} \right\} \quad \dots (6)$$

$$\left. \begin{aligned} \text{ここに } \begin{pmatrix} T_1 \\ N_1 \\ L_1 \\ M_1 \end{pmatrix} &= \frac{\partial}{\partial \theta} \begin{pmatrix} T_0 \\ N_0 \\ L_0 \\ M_0 \end{pmatrix}, \quad \begin{pmatrix} T_2 \\ N_2 \\ L_2 \\ M_2 \end{pmatrix} = \frac{\partial}{\partial \Theta} \begin{pmatrix} T_0 \\ N_0 \\ L_0 \\ M_0 \end{pmatrix} \end{aligned} \right\} \quad \dots (7)$$

(8) 式における 1 のサフィックスを有するものは  $\theta$  を変数とした時の  $T_0$ ,  $N_0$ ,  $L_0$ ,  $M_0$  の微分係数であり、同様に 2 のサフィックスを有するものは  $\Theta$  を変数とした時の微分係数であることを示す。

### 4. 解析結果および安定図表

切土・盛土の設計では  $\alpha = 0^\circ$  の場合が多用される。ここでは  $\alpha = 0^\circ$  とし、 $\beta$  を  $20^\circ \leq \beta \leq 85^\circ$  の範囲でざぶつ変化させ (7) 式から  $\theta$ ,  $\Theta$  を求めた。安定図表として  $F_0 \sim K_0$ ,  $F_0 \sim \theta$ ,  $\Theta \sim \theta$  の関係を図-2, 3, 4 に示す。これらの安定図表の取扱いは次の手順で用いる。

① 与えられた条件から  $K_0$  を計算する (6) 式。 ② 図-2 や 5 β 対応の  $F_0$  を読みとる。 ③ 図-3 や 4 から  $\theta$  で  $F_0$  に対応する  $\theta$  を読み取る。 ④ 同-β で  $\theta$  に対応する  $\Theta$  を読みとる。 ⑤ (1) 式から  $\theta$ ,  $\Theta$

を計算する。⑥(6)式から半径 $r$ を求め円弧を定める。⑦(5)式から安全率 $F$ を求める。

また、 $K_0$ (臨界条件数)と安定数 $F_0$ の関係は図-2から明らかなように $F_0$ は $K_0$ に対し $\log$ 増加関数となる。他方、同一 $K_0$ では $\beta$ が大きくなるにつれて $F_0$ は小さくなる。すなはち、斜面の高さに注目すれば、これが大きいほど $K_0$ 、 $F_0$ が小さくなり安全率 $F$ も低下することを示し、傾斜角 $\beta$ が大きいほど安全率 $F$ は小さくなることを示す。

## 5. 適用例

### ① 地下工における小段幅の決定について

地盤計画において切土勾配と土質諸条件が一定であるとすれば、小段幅は図-1の $\overline{PA}$ ( $\alpha=0^\circ$ )よりも小さくなければならない。大きいとするならば小段を含むすべりが発生する可能性が生ずるからである。 $\alpha=0^\circ$ の時の $K_0$ と $\overline{PA}/r$ との関係を図-5に示す。図-5を用いれば与えられた条件から $K_0$ を求め $\beta$ に対する $\overline{PA}/r$ 値を読みとり、これに半径 $r$ を乗じることで小段幅を求めることができる。

$$\overline{PA}/r = \sin\theta - \frac{a\sin\theta + \cos\theta - (b\sin\theta + \cos\theta)}{a-b} \quad \dots \dots \quad (9)$$

### ② 盆土の長期安定の検討

盆土高さが決まつければ、法勾配をどのように決定するかが問題となる。図-6は盆土勾配1:1.5( $\beta=33.69^\circ$ )、盆土高 $H=10.0$ mとした時の解析結果である。土質定 $C'$ 、 $\phi'$ と $w$ は土質試験の結果を用いてある。①の円弧は①による臨界円弧であり、②が今回の解析方法を用いた結果である。両者の結果は②円弧で $F=1.32$ 、①円弧で $F=1.44$ となり、斜面内だけを対象とするすべりは発生せず、添肩をも含めたすべりが生ずることになる。したがってこの場合②の結果をとり、目標安全率が1.5であるとすれば、盆土勾配は当初計画の1:1.5よりも緩くしなければならないことになる。

- 参考文献 1) 土屋智、申潤植・荻原貞夫 基岩面条件と斜面の安定 新砂防 124 57'8  
2) 土質工学ハンドブック 1982 技報堂  
3) 斜面および盆土のための安定図表 1981. 技報堂

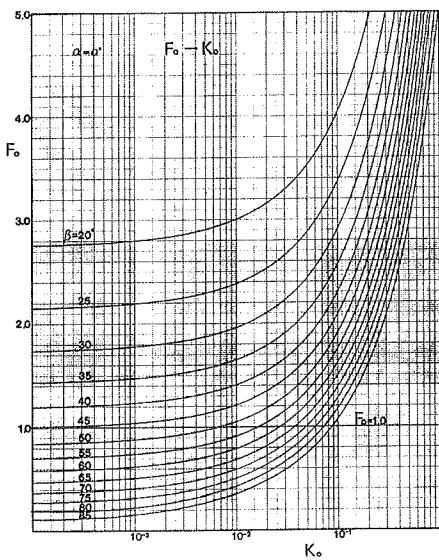


図-2 安定数 $F_o$ と臨界条件数 $K_o$

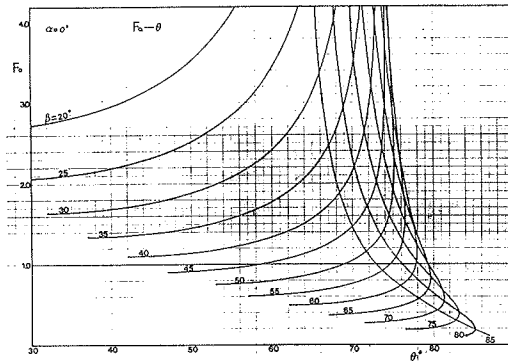


図-3 安定数 $F_o$ と中心角 $\theta$

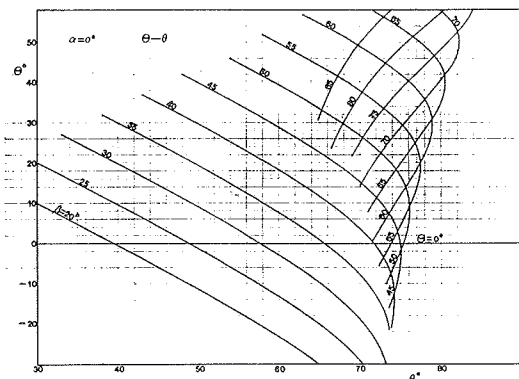


図-4 中心角 $\theta$ と $\theta$

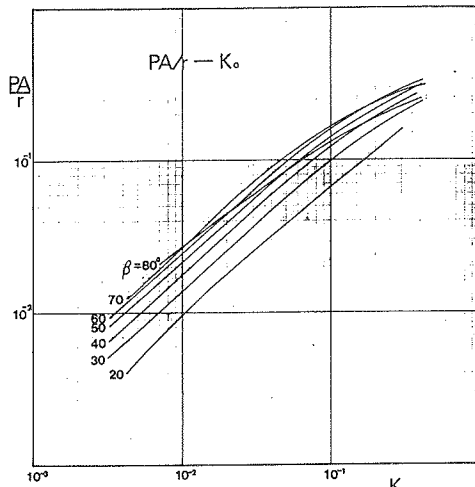


図-5 PAと臨界条件数 $K_o$

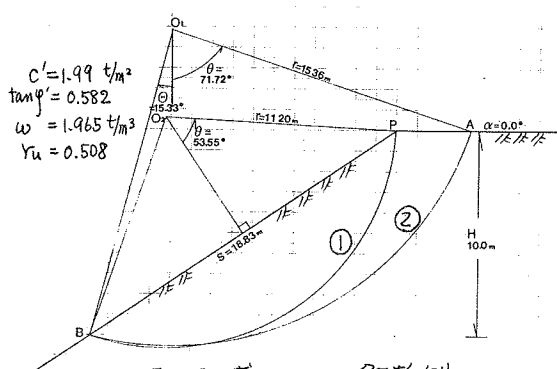


図-6 盆土における解析例

(1)  
 $K_o = 0.163$   
 $F_o = 4.265$   
 $F = 1.442$

(2)  
 $K_o = 0.354$   
 $F_o = 4.599$   
 $F = 1.317$